

PEG-PET 共聚酯纤维的超分子结构与吸湿性能

曹振林 张志英 穆祥祺 胡恒亮 董思忠

(天津纺织工学院)

【摘要】用x-射线衍射、红外、动态力学和DSC对PEG-PET纤维进行分析结果表明：PEG组分存在于无定形区，随着PEG含量增加，晶区内分子链的堆砌更加紧密，折迭链晶体含量增加，但结晶度基本不变；在PEG含量较低时，无定形区PEG链段和PET链段基本上是混容的，PEG含量等于或大于20%时出现微相分离，共聚酯纤维的平衡回潮率随PEG含量增加成指数形式增加；表征分子链柔性的参数 T_a 与平衡回潮率的对数之间有良好的线性关系。

聚酯(PET)纤维的物理机械性能优良，但仍有不少缺点。用亲水性组分聚乙二醇(PEG)对PET纤维进行共聚改性，能适当地改进吸湿、染色、抗静电和抗起球性能^[1~3]。Coleman^[4]和Veena^[5]先后报道过PEG改性PET纤维染色性能、吸湿性能和热性能的测试结果。Wallenberger^[6]把PEG-PET纤维作为典型的人造吸湿性纤维，研究了吸湿对溶胀、玻璃化转变、抗张性能和形变回复性能的影响。本文应用x-射线衍射、红外、动态力学等分析技术，研究了PEG-PET共聚酯纤维的超分子结构及其与吸湿性能的关系。

一、实验部分

1. 试样的制备

试样是采用对苯二甲酸二甲酯(DMT)、乙二醇(EG)和PEG共缩聚得到的PEG-PE T共聚酯，经熔融纺丝后制得。系列样品中PEG含量(PEG/DMT重量比)分别为0%，5%，10%和20%。纺丝温度270℃，卷绕速度430米/分，拉伸温度70℃，拉伸速度152.7米/分，拉伸比4.023，定长热定形温度125℃。样品置于干燥器中备用。试样的特性粘度[η]=0.50~0.53(试样粘度在25℃，以浓度为0.5%W/W无油丝试样的邻氯苯酚溶液，用乌氏粘度计测试)。

2. x-射线衍射分析

x-射线照相在自制真空相机上进行。管电压36千伏，管电流19毫安，曝光时间7小时。超分子结构参数的测定在日本理学Regaku D/max-rA x-射线衍射仪上进行，管电压40千伏，管电流100毫安。

晶区取向度由(105)面的方位扫描求得，以Hermann取向因子表示^[7]，晶粒尺寸由(100)、(010)和(105)面衍射峰的半高宽通过Scherrer方程求出^[8]；宽化效应用六亚甲基四胺作为标样进行校正。小角测试在四狭缝系统的小角测角头上进行；角度范围为0.12~1.5°；长周期由散射强度极大值的角度位置利用Bragg方程求出。分峰在NOVA 4/C计算机上完成，峰形采用Gauss-Chauchy混合型。

3. 热分析

热分析在Perkin-Elmer DSC-2C差示扫描量热仪上进行。升温速度20℃/分，取样量9±0.3毫克，N₂保护，参比为金铂锅，温标和能量用标准物质铟校正。所得熔融热焓经重量归一化处理，结晶度数值为试样的熔融热与标准熔融热的百分比。标准熔融热取值为33.5卡/克^[9]。

4. 动力学分析

动态力学实验在 Rheovibron DDV-II-EA 型动态粘弹仪上进行。测试频率 11Hz, 升温速率 2 °C/分, 温度范围 -150~200°C, 液氮冷却, 试样为平行排列的纤维单丝。

5. 红外分析

红外分析在 Pye Unican Sp2000 分光光度计上测量。纵标 T × 5, 扫描时间 5 小时, 时间常数 1。

6. 吸湿性能

在室温下 (18±3°C), 试样在规定相对湿度下平衡 18 天, 根据 ASTM 测试方法测定平衡回潮率^[10]; 相对湿度由饱和盐溶液控制: 35%RH(CaCl₂·6H₂O), 65%RH(Mg(OAc)₂·4H₂O), 81%RH ((NH₄)₂SO₄), 95%RH (NaHPO₄·12H₂O), 100%RH(H₂O)。

二、结果与讨论

1. 超分子结构的研究

下表中列出了由实验结果得到的 PEG-PET 共聚酯纤维的结构参数。

PEG-PET 共聚酯纤维的结构参数

The structure parameter of PEG-PET copolyester fibre

PEG含量(PEG content)(%)	0	5	10	20
结晶度 (crystallinity) X_c (%)	39	37	39	37
晶粒尺寸 (dimension of crystal)(Å)	D_{100}	31.0	31.9	34.6
	D_{010}	38.8	42.6	46.3
	$D_{\bar{1}05}$	52.5	50.6	51.2
长周期 (long period)(Å)	102.7	101.8	104.5	109.9
T05峰分离角 (separation angle of T05 peak)(度degree)	12.19	12.30	14.66	14.73
晶面间距 (distance between crystal faces)	D_{010}	5.031	5.019	5.011
	D_{100}	3.460	3.453	3.445
	$D_{\bar{1}05}$	2.110	2.109	2.106
晶区取向度 (orientation of crystal region) f_o	0.969	0.968	0.966	0.963
熔点 (melting point) T_m (°C)	252	251.8	251.5	248
α 松弛峰温 (temperature of relaxation peak α) T_α (°C)	145	133	111	75
β 松弛峰温 (temperature of relaxation peak β) T_β (°C)	-41	-41	-40	-

纯 PEG 的 x-射线衍射纤维图与 PET 全然不同^[11], 把 PET 纤维与 PEG-PET 共聚酯纤维的 x-射线照片进行比较, 发现衍射信息完全相同。说明共聚酯纤维的晶区是由 PET 链段构成的, PEG 链段主要以无定形状态存在于非晶区。

随 PEG 含量增加, 晶面间距变小(见表 1)。 $(\bar{1}05)$ 晶面间距的变化较小, (100) 和 (010) 晶面间距的变化较大。不同含量 PEG-PET 纤维的 $\bar{1}05$ 峰分离角也不相同。晶面间

距和 $\bar{1}05$ 峰分离角的变化, 表明晶胞参数发生变化^[12]。由于晶面间距在三个方向均变小, 表明由于 PEG 柔性链的内增塑作用使微晶内原子之间的堆砌更加紧密, 晶区密度增加。PEG 含量增加主要使晶粒的横向尺寸加大, 晶区取向稍有下降。

图 1 是扣除空气散射的 PET 和 PEG-PET 共聚酯纤维的小角 x-射线散射(SAXS)曲线。随 PEG 含量(Wt%)增加, 散射强度显著增加, 由小角 x-射线散射理论可知, 衍

射强度(积分强度)正比于晶区和非晶区电子云密度差的平方。当纤维中形成折迭链时, 折迭链组成的晶区与相邻无定形区的电子云密度差最大, 可认为散射强度的增加是由于折迭链数目的增加^[13,14]。图2是对PET和10%PEG-PET试样部分红外光谱测试结果, 表征规则

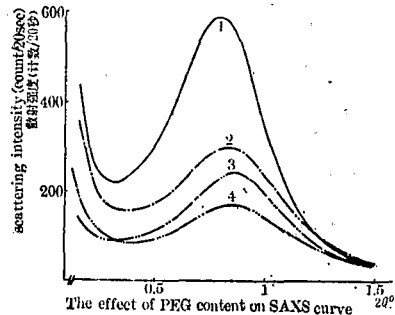


图1 PEG含量对 SAXS 曲线的影响
1—20% PEG; 2—10% PEG;
3—5% PEG; 4—0% PEG。

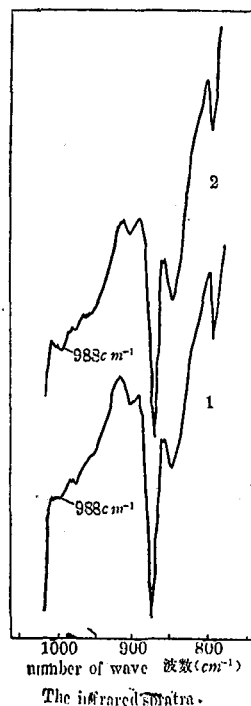


图2 红外光谱图
1—PET;
2—10% PEG-PET。

粒横向尺寸加大, 与宽角衍射结果相符合。

折迭链的 988cm^{-1} 吸收峰^[6]加大, 与小角散射强度的变化一致。此外, 无定形 PEG 的密度为 1.1265 克 / 厘米³^[15], 小于无定形 PET 的密度值。根据比容的加和性可知, PEG 的加入必然导致纤维无定形区密度降低, 这是小角 x- 射线散射强度随 PEG 含量增加的另一因素。

PEG 含量增加时, 小角长周期稍有增加, 以长周期数据减去 (105) 晶面法向尺寸作为无定形相厚度, 发现无定形相厚度增加, 而结晶度并未缩小, 所以只能是晶区密度增加或晶

2. 动力学分析

图3为不同 PEG 含量的 PEG-PET 纤维的贮能模量、损耗角正切-温度曲线。

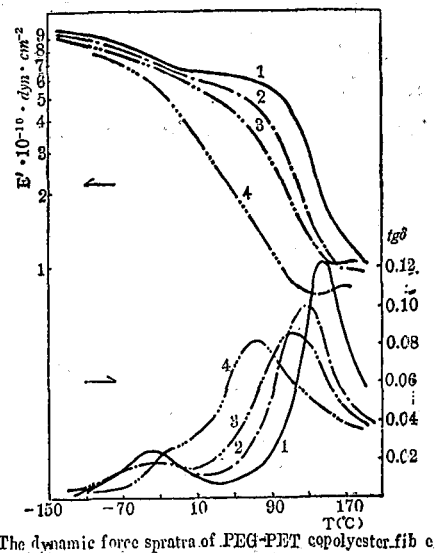


图3 PEG-PET 共聚酯纤维的动态力学谱
1—0% PEG; 2—5% PEG;
3—10% PEG; 4—20% PEG。

随 PEG 含量增加, α 松弛峰极大值对应的温度(T_α)向低温方向移动。假定在无定形区 PEG 链段和 PET 链段是均匀混合的, 则 PEG 含量对 T_α 的影响可用 Fox 方程描述:

$$1/T_\alpha = W_1/T_{\alpha 1} + W_2/T_{\alpha 2} \quad (1)$$

式中: W_1 、 W_2 分别表示无定形区两种组分的重量分数; $T_{\alpha 1}$ 、 $T_{\alpha 2}$ 分别表示两种组分的 α 转变温度(以热力学温标表示)。 W_1 表示无定形区 PEG 的重量分数(W_1 可由 PEG 的含量、结晶度等数据计算得出), (1)式可写成:

$$\frac{1}{T_\alpha} = \frac{1}{T_{\alpha 2}} + W_1 \left(\frac{1}{T_{\alpha 1}} - \frac{1}{T_{\alpha 2}} \right) \quad (2)$$

若上式适用于本体系, 以 T_α^{-1} 对无定形区 PEG 含量 W_1 作图呈直线(见图4)。用最小二乘法对其进行线性回归得到:

$$T_\alpha^{-1} = 10^{-3}(2.3535 + 1.8539W_1) \quad (3)$$

相关系数为 0.99。从(3)式外推可得到 PEG 的 T_α 为 -35°C 。三轩齐和 Mody 等人^[17,18]报道的聚醚-聚酯弹性体的 PEG 的 α 转变分别为 -30°C 和 -40°C , 与(3)式的外推值相当吻合。

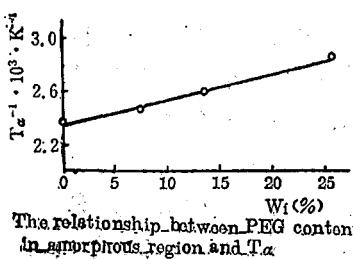


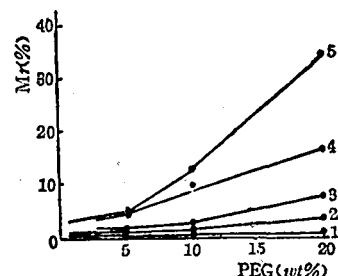
图4 无定形区PEG含量W₁与T_g的关系

合。

关于PET
β峰的机理说
法不一^[16]，
从图3及表1
看到，共聚酯
纤维的β峰位

的平衡回潮
率的对数对
T_g作图，
线性相关系
数均大于
0.98（图7
所示）。

通过对
不同PEG
含量的PE
G-PET纤
维结构与回
潮率的分析，



The effect of PEG content to the moisture regain of copolyester fiber under different relative humidities

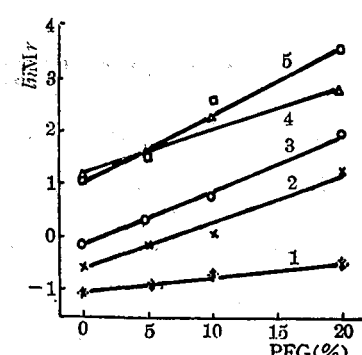
图5 在不同相对湿度(RH)下，PEG含量对共聚酯纤维回潮率的影响
1—35%；2—65%；3—81%；
4—95%；5—100%（图6、7同）。

℃附近，只是峰的强度随PEG含量增加而减小，说明β峰所表征的运动单元并未变化，只是相对含量减少而已。20%PEG-PET试样，在tgδ-T曲线上β峰仅作为α峰的肩峰出现，肩峰位置约在-25℃附近，与文献报道的PEG软段的α松弛在-30℃附近很接近^[17]。为此，我们进一步测试了40%PEG-PET纤维的动力学谱，发现T_g为60℃，且低温一侧的肩峰长大，而用(3)式可推出T_g应为40℃，显然，当PEG含量达40%时，无定形区PEG含量与T_g的关系不再符合Fox方程，而出现明显的微相分离。因而推测20%PEG-PET试样中α峰低温一侧的这个肩峰也起因于无定形区PEG链段的α松弛。关于本实验PEG的T_g比(8)式推測值稍高的原因可能是由于PEG所形成的微区中溶有部分PET所致。

3. 吸湿性能

PEG含量增加，回潮率增加。在相对湿度较高的情况下，回潮率增加尤其显著，如图5所示。以回潮率的对数(lnMr)对PEG含量作图发现有线性关系(图6)，说明纤维的平衡回潮率随PEG含量成指数形式增加。

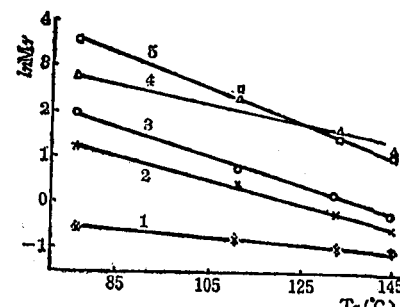
一般认为，水分子不能进入晶区，纤维的吸湿性能主要取决于无定形区的结构以及链段的协同运动。我们认为，水分子在无定形区的可及程度与无定形区的序态有关，无定形区的序态愈高，链段运动也愈困难，因此，吸湿性能必然与表征无定形区链段运动难易程度的参数T_g相关联。在一定的相对湿度下，以纤维



The relationship between PEG content and the log of moisture regain under different relative humidities

图6 在不同相对湿度下，回潮率的对数(lnMr)与PEG含量的关系

少，同时，无定形区的密度减小，序态下降，使无定形区分子链的柔性增加，这些因素均有



The relationship between log of moisture regain and T_g under different relative humidities

图7 在不同相对湿度下，回潮率的对数与T_g的关系

发现在PEG-PET纤维中，亲水性的PEG柔性链段在很大程度上改变了纤维的超分子结构，结晶度几乎不变，而晶粒明显加大，牵制无定形区链段运动的晶粒数目因而减

利于水分子的渗入；而亲水性组分 PEG 的存在更增加了纤维的吸湿性，并有利于水分子的贮留。这就是吸湿性增加的主要原因。

三、结 论

用 PEG 对 PET 进行共聚改性，使纤维的超分子结构发生一定的变化。PEG 链段以非晶形式存在于无定形区。随 PEG 含量增加，晶粒的横向尺寸加大，晶体结构更加致密，晶区取向稍有下降，而结晶度几乎不变。

PEG 的加入使 α 松弛温度大幅度下降。当 PEG 含量小于 20% 时，在无定形区 PEG 和 PET 链段基本上是混溶的；当 PEG 含量等于或大于 20% 时出现微相分离。

PEG 含量增加，回潮率增加，特别是在相对湿度较高的情况下，回潮率增加尤为显著。平衡回潮率随 PEG 含量增加成指数形式增加，而随 T_α 增加成指数形式下降。

本院李占生、贾景农、边栋材、齐鲁、吴世臻、赵家森、李惠顺等同志协助部分实验工作，在此一并致谢。